





2) **ማሳሰቢያ (ቀጠ) • ጠቅላይ ጥያቄ**

ቅጥር ለማጠቃለያ ለሆነው ጥያቄ ይገባል።

• ጠቅላይ ጥያቄ ለሆነው ጥያቄ ይገባል።

• ጠቅላይ ጥያቄ ለሆነው ጥያቄ ይገባል።

• ጠቅላይ ጥያቄ ለሆነው ጥያቄ ይገባል።

• ጠቅላይ ጥያቄ ለሆነው ጥያቄ ይገባል።

• ጠቅላይ ጥያቄ ለሆነው ጥያቄ ይገባል።

• ጠቅላይ ጥያቄ ለሆነው ጥያቄ ይገባል።

• ጠቅላይ ጥያቄ ለሆነው ጥያቄ ይገባል።

ይህ ደብዳቤ

$$V_{s1} = V_s \left( \frac{p_a}{\sigma_v} \right)^{0.25} \quad (3)$$

• ጠቅላይ ጥያቄ ለሆነው ጥያቄ ይገባል።

• ጠቅላይ ጥያቄ ለሆነው ጥያቄ ይገባል።

• ጠቅላይ ጥያቄ ለሆነው ጥያቄ ይገባል።

• ጠቅላይ ጥያቄ ለሆነው ጥያቄ ይገባል።

• ጠቅላይ ጥያቄ ለሆነው ጥያቄ ይገባል።

• ጠቅላይ ጥያቄ ለሆነው ጥያቄ ይገባል።

• ጠቅላይ ጥያቄ ለሆነው ጥያቄ ይገባል።

• ጠቅላይ ጥያቄ ለሆነው ጥያቄ ይገባል።

**• ጠቅላይ ጥያቄ ለሆነው ጥያቄ ይገባል**

$V_2$  ደብዳቤ

• ጠቅላይ ጥያቄ ለሆነው ጥያቄ ይገባል።

• ጠቅላይ ጥያቄ ለሆነው ጥያቄ ይገባል።

• ጠቅላይ ጥያቄ ለሆነው ጥያቄ ይገባል።

ይህ ደብዳቤ

• ጠቅላይ ጥያቄ ለሆነው ጥያቄ ይገባል።

$$CSR = \frac{\tau_{av}}{\sigma_v} = 0.65 \left( \frac{a_{max}}{g} \right) \left( \frac{\sigma_v}{\sigma_v} \right) \times r_d \quad (4)$$

• ጠቅላይ ጥያቄ ለሆነው ጥያቄ ይገባል።

• ጠቅላይ ጥያቄ ለሆነው ጥያቄ ይገባል።

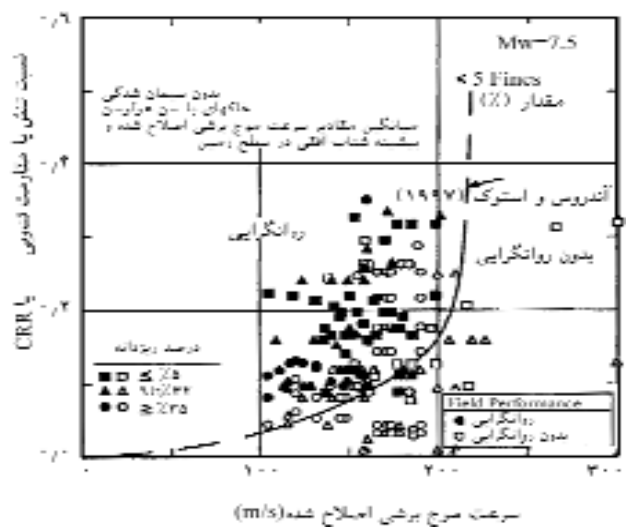
• ጠቅላይ ጥያቄ ለሆነው ጥያቄ ይገባል።

• ጠቅላይ ጥያቄ ለሆነው ጥያቄ ይገባል።

داده های  $V_{sl}$  و  $V_{sl}^*$  در جدول زیر در دسترس است.  $V_{sl}$  و  $V_{sl}^*$  به ترتیب سرعت موج برشی اصلاح شده و سرعت موج برشی اصلاح شده استاندارد است.

$$MSF = \left( \frac{M_w}{7.5} \right)^n \quad (2)$$

مقدار  $n$  در جدول زیر در دسترس است.  $n$  به ترتیب مقدار  $M_w$  است.  $n$  برای  $M_w < 5$  برابر 0.5 است و برای  $M_w > 5$  برابر 1.0 است.



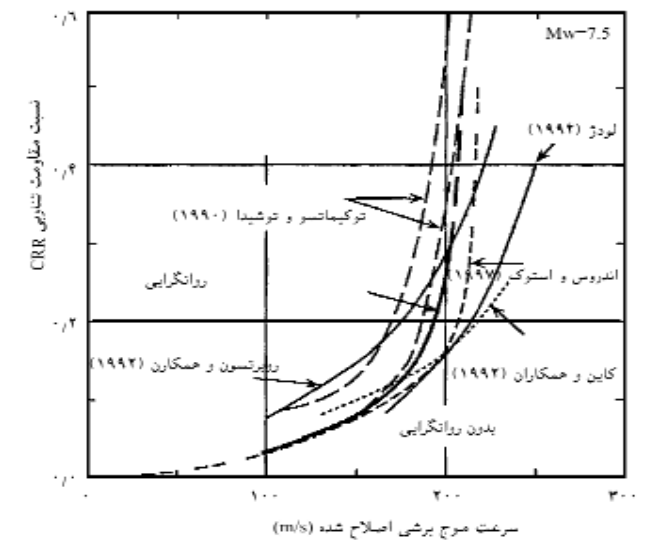
سرعت موج برشی اصلاح شده (m/s)  $n=0.5$  (FC > 35%)  $n=1.0$  (5% < FC <= 20%)  $n=1.0$  (FC <= 5%)

مقدار  $V_{sl}^*$  در جدول زیر در دسترس است.  $V_{sl}^*$  به ترتیب سرعت موج برشی اصلاح شده استاندارد است.  $V_{sl}^*$  برای  $FC > 35\%$  برابر 200 m/s است، برای  $5\% < FC <= 20\%$  برابر  $215 - 0.5(FC - 5)$  m/s است و برای  $FC <= 5\%$  برابر 215 m/s است.

$V_{sl}^* = 200 \text{ m/s}$	$FC \geq 35\%$
$V_{sl}^* = 215 - 0.5(FC - 5) \text{ m/s}$	$5\% < FC \leq 20\%$
$V_{sl}^* = 215 \text{ m/s}$	$FC \leq 5\%$

مقدار  $V_{sl}$  و  $V_{sl}^*$  در جدول زیر در دسترس است.  $V_{sl}$  و  $V_{sl}^*$  به ترتیب سرعت موج برشی اصلاح شده و سرعت موج برشی اصلاح شده استاندارد است.

مقدار  $V_{sl}$  و  $V_{sl}^*$  در جدول زیر در دسترس است.  $V_{sl}$  و  $V_{sl}^*$  به ترتیب سرعت موج برشی اصلاح شده و سرعت موج برشی اصلاح شده استاندارد است.



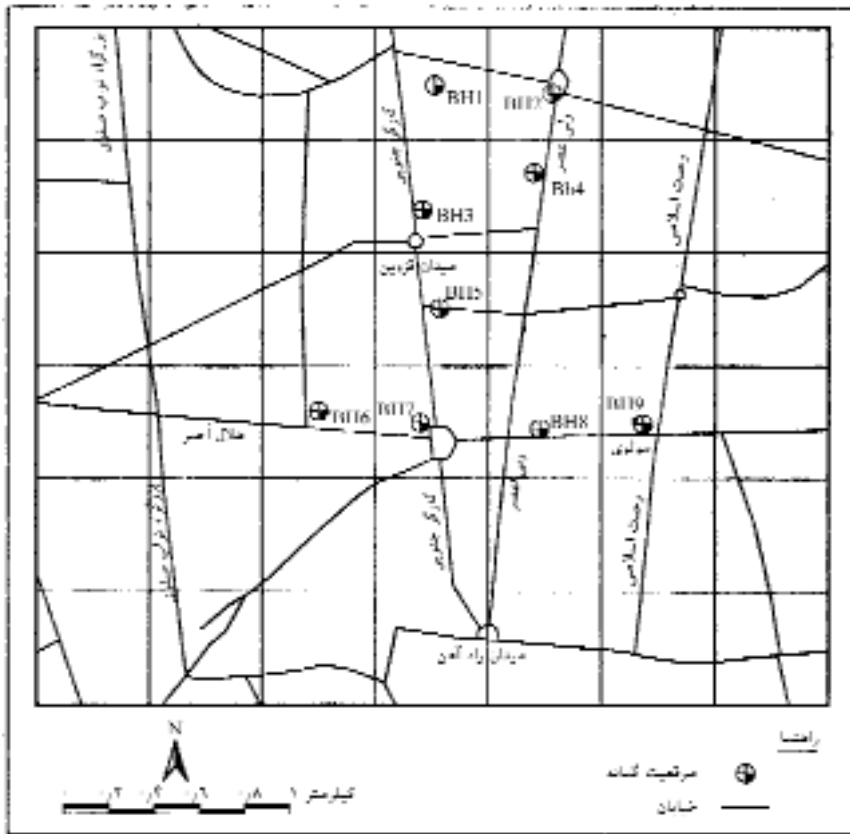
سرعت موج برشی اصلاح شده (m/s)  $n=0.5$  (FC > 35%)  $n=1.0$  (5% < FC <= 20%)  $n=1.0$  (FC <= 5%)

مقدار  $V_{sl}$  و  $V_{sl}^*$  در جدول زیر در دسترس است.  $V_{sl}$  و  $V_{sl}^*$  به ترتیب سرعت موج برشی اصلاح شده و سرعت موج برشی اصلاح شده استاندارد است.

$$CRR = \left\{ a \left( \frac{V_{sl}}{100} \right)^2 + b \left( \frac{1}{V_{sl}^* - V_{sl}} - \frac{1}{V_{sl}^*} \right) \right\} MSF \quad (3)$$

مقدار  $V_{sl}$  و  $V_{sl}^*$  در جدول زیر در دسترس است.  $V_{sl}$  و  $V_{sl}^*$  به ترتیب سرعت موج برشی اصلاح شده و سرعت موج برشی اصلاح شده استاندارد است.





የቦኮ ሪፖርት ይዘት በቤይጅ ላይ የተዘጋጀው የግንባታ ስፔሻል ግጥም ምዕራብ ቦኮ ሪፖርት ላይ የተዘጋጀው ሲሆን ሲብስብ ነው።

ከላይ በሚገለጹት ቦኮ ሪፖርት ላይ የተዘጋጀው የግንባታ ስፔሻል ግጥም ምዕራብ ቦኮ ሪፖርት ላይ የተዘጋጀው ሲሆን ሲብስብ ነው።  
 ለዚህ ስፔሻል ግጥም ምዕራብ ቦኮ ሪፖርት ላይ የተዘጋጀው የግንባታ ስፔሻል ግጥም ምዕራብ ቦኮ ሪፖርት ላይ የተዘጋጀው ሲሆን ሲብስብ ነው።  
 ይህ ስፔሻል ግጥም ምዕራብ ቦኮ ሪፖርት ላይ የተዘጋጀው የግንባታ ስፔሻል ግጥም ምዕራብ ቦኮ ሪፖርት ላይ የተዘጋጀው ሲሆን ሲብስብ ነው።  
 ለዚህ ስፔሻል ግጥም ምዕራብ ቦኮ ሪፖርት ላይ የተዘጋጀው የግንባታ ስፔሻል ግጥም ምዕራብ ቦኮ ሪፖርት ላይ የተዘጋጀው ሲሆን ሲብስብ ነው።

ይህ ስፔሻል ግጥም ምዕራብ ቦኮ ሪፖርት ላይ የተዘጋጀው የግንባታ ስፔሻል ግጥም ምዕራብ ቦኮ ሪፖርት ላይ የተዘጋጀው ሲሆን ሲብስብ ነው።  
 ለዚህ ስፔሻል ግጥም ምዕራብ ቦኮ ሪፖርት ላይ የተዘጋጀው የግንባታ ስፔሻል ግጥም ምዕራብ ቦኮ ሪፖርት ላይ የተዘጋጀው ሲሆን ሲብስብ ነው።

$$CRR = \begin{cases} 0.0882 \frac{\sqrt{N}}{\sigma_v + 0.7} + 0.225 \log \left( \frac{0.35}{D_{50}} \right) & 0.02 < D_{50} < 0.6 \\ 0.0882 \frac{\sqrt{N}}{\sigma_v + 0.7} - 0.05 & 0.6 < D_{50} < 2 \end{cases}$$

ይህ ስፔሻል ግጥም ምዕራብ ቦኮ ሪፖርት ላይ የተዘጋጀው የግንባታ ስፔሻል ግጥም ምዕራብ ቦኮ ሪፖርት ላይ የተዘጋጀው ሲሆን ሲብስብ ነው።  
 ለዚህ ስፔሻል ግጥም ምዕራብ ቦኮ ሪፖርት ላይ የተዘጋጀው የግንባታ ስፔሻል ግጥም ምዕራብ ቦኮ ሪፖርት ላይ የተዘጋጀው ሲሆን ሲብስብ ነው።  
 ይህ ስፔሻል ግጥም ምዕራብ ቦኮ ሪፖርት ላይ የተዘጋጀው የግንባታ ስፔሻል ግጥም ምዕራብ ቦኮ ሪፖርት ላይ የተዘጋጀው ሲሆን ሲብስብ ነው።







17. Kayen, R. E., Mitchell, J. K., Seed, R. B., Lodge, A., Nishio S., and Coutinho, R. (1992), "Evaluation of SPT, CPT, and Shear Wave - Based Methods for Liquefaction Potential Assessment Using Lomprieta Data," Proc. Fourth Japan. U.S. Workshop on Earthquake Resistant Design of Lifeline Facilities and Countermeasures for Soil Liquefaction, Technical Report NCEER - 92 - 0019, M. Hamada and T.D. O'Rourke, Eds., Held 27 - 29 May, Honolulu, Hawaii, Nat Ctr. For Earthquake Engrg. Res. Buffalo, NY, Vol. 1, pp. 177 - 204.
18. Andrus, R. D., and Stokoe, K. H. (1997), "Liquefaction Resistance Based on Shear Wave Velocity," NCEER Workshop on Evaluation of Liquefaction Resistance of Soils, Technical Report NCEER - 97 - 0022, T.L. Youd and I.M. Idriss, Eds., 4 - 5 Jan. 1996, Nat. Ctr. For Earthquake Engrg. Res., Buffalo, NY, pp. 89 - 128.
19. Sykora, D.W. (1987b), "Creation of a Data Base of Seismic Shear Wave Velocities for Correlation Analysis," Geotechnical Laboratory Miscellaneous Paper GL - 87 - 26, U.S. Army Engineer Waterways Experiment Station, Vicksburg, MS.
8. Rashidian, M. (1995), "Undrained Shearing Behavior of Gravelly Sands and its Relation with Shear Wave Velocity," Thesis, Geotech. Engrg. Lab, Dept. of Civil Engrg. Univ. of Tokyo, Japan.
9. Bierschwale, J. G., and Stock, K. H., II (1984), "Analytical Evaluation of Liquefaction Potential of Sands Subjected to the 1981 Westmorland Earthquake," Geotech. Engrg. Report GR - 84 - 15, The Univ. of Texas at Austin.
10. Stokoe, K. H., II, Roesset, J. M., Bierschwale, J. G., and Abuad, M. (1988 c), "Liquefaction Potential of Sands from Shear Wave Velocity," Proc. Ninth World Conf. on Earthquake Engrg., Tokyo, Japan, Vol. III, pp. 213 - 218.
11. Andrus, R.D. (1994), "In Situ Characterization of Gravelly Soils That Liquefied in the 1983 Borah Peak Earthquake," Ph.D. Dissertation, The Univ. of Texas at Austin., p. 533.
12. Seed, H.B., Idriss, I.M, and Arango, I. (1983), "Evaluation of Liquefaction Potential Using Field Performance Data," J. of Geotech. Engrg., ASCE, Vol. 109 - No. 3, pp. 458 - 482.
13. Lodge, A. L. (1994), "Shear Wave Velocity Measurements for Subsurface Characterization," Ph. D. Dissertation, Univ. of Calif. At Berkeley.
14. Kayabali, K. (1996), "Soil Liquefaction Evaluation Using Shear Wave Velocity," Engrg. Geology, Elsevier Publisher New York < NY., Vol. 44, No. 4, pp. 121 - 127.
15. Rollins, K.M., Diehl, N. B., and Weaver, T. J. (1998 b), "Implications of  $V_s$  - BPT ( $N_1$ )<sub>60</sub> Correlations for Liquefaction Assessment of Gravels," Geotech. Earthquake Engineering. And Soil Dyn. III, Geotech. Special Pub. No. 75, P. Dakoulas, M. Yegian, and B. Holtz, Eds., ASCE, Vol. 1, pp. 506 - 517.
16. Robertson, P. K., Woeller, D. J., and Finn, W. D.L. (1992), "Seismic Cone Penetration Test for Evaluating Liquefaction Potential Under Cyclic Loading," Canadian Geotech. J., Vol. 29, pp. 686 - 695.

۱۷. کاین، ر. ای.، میچل، ج. کی.، سید، ر. بی.، لودج، ا.، نیشیو، س.، و کانتینو، ر. (۱۹۹۲)، "ارزیابی روش‌های SPT، CPT و روش‌های مبتنی بر موج برش برای ارزیابی پتانسیل لیکوفاکشن با استفاده از داده‌های لومپریتا"، Proc. Fourth Japan. U.S. Workshop on Earthquake Resistant Design of Lifeline Facilities and Countermeasures for Soil Liquefaction, Technical Report NCEER - 92 - 0019, M. Hamada and T.D. O'Rourke, Eds., Held 27 - 29 May, Honolulu, Hawaii, Nat Ctr. For Earthquake Engrg. Res. Buffalo, NY, Vol. 1, pp. 177 - 204.

۱۸. اندرس، ر. دی.، و استوکوه، کی. ای. (۱۹۹۷)، "مقاومت لیکوفاکشن بر اساس سرعت موج برش"، NCEER Workshop on Evaluation of Liquefaction Resistance of Soils, Technical Report NCEER - 97 - 0022, T.L. Youd and I.M. Idriss, Eds., 4 - 5 Jan. 1996, Nat. Ctr. For Earthquake Engrg. Res., Buffalo, NY, pp. 89 - 128.

۱۹. سیکورا، دی. وی. (۱۹۸۷ب)، "ایجاد پایگاه داده از سرعت‌های موج برش لرزه‌ای برای تحلیل همبستگی"، Geotechnical Laboratory Miscellaneous Paper GL - 87 - 26, U.S. Army Engineer Waterways Experiment Station, Vicksburg, MS.